

The thesis is devoted to establishment of the objective laws and mechanism of explosive fracture of rocks with heterogeneous structure on the basis of the possible control the thermal and gas-dynamic processes in the blast cavity and surrounding rock massive. Investigation of processes that take place in charge cavity and surround-

ing medium has made it possible to establish their objective laws and interconnections.

**Keywords:** *thermal and gas-dynamic processes, blast cavity, rock, detonation shock wave, stress waves*

*Рекомендовано до публікації д.ф.-м.н., А.В. Чернаєм  
23.04.10*

УДК 536.76

© Лютий А.И., Глушко Л.Н., 2010

А.И. Лютий, Л.Н. Глушко

## РАСЧЕТ ДАВЛЕНИЯ РЕАЛЬНЫХ ГАЗОВ МЕТОДОМ ПРИВЕДЕНИХ ФУНКЦИЙ РАСПРЕДЕЛЕНИЯ ВЕРОЯТНОСТЕЙ

A.I. Liuty, L.N. Glushko

## CALCULATION OF REAL GAS PRESSURE USING METHOD OF MODIFIED FUNCTIONS OF PROBABILITY DISTRIBUTION

Введение в сумму по состояниям газовой фазы приведенных значений вероятностей позволило модернизировать процедуру расчета функций распределения и термического уравнения состояния реального газа. Выполненный расчет давления реального газа методом приведенной вероятности и большой статистической суммы показал, что затруднения, связанные с математической обработкой больших чисел, которые характеризуют термодинамические вероятности состояния, вполне преодолимы. Рассчитаны изотермы реального газа и вероятности испарения при фазовом равновесии.

**Ключевые слова:** *реальный газ, уравнение состояния вещества, критические явления*

Известно, что одной из фундаментальных проблем в точном естествознании является описание состояния вещества и процессов фазовых превращений, происходящих в нем при изменении термодинамических параметров и критических явлений, их сопровождающих.

Уравнение состояния вещества принадлежит к числу важнейших характеристик макроскопических свойств физически однородных тел. Опыт показывает, что в состоянии термодинамического равновесия объем  $V$ , давление  $p$  и температура  $T$  находятся в функциональной зависимости  $f(p,V,T) \neq 0$  не только для идеальных, но и для реальных газов, а также для любых физически однородных и изотропных тел. Из общих принципов термодинамики уравнение состояния получить нельзя. Термодинамика заимствует его либо из опыта, либо из статистической физики, где они могут быть выведены теоретически. Предпринимавшиеся попытки получить уравнение состояния газа эмпирическим путем, длившиеся в течение сотни лет, фактически оказались бесплодными [1].

Математические основы теории фазовых переходов создал Дж. В. Гиббс [2], внедрив в термодинамику статистические принципы. Фундаментальные законы статистической физики базируются на распределениях Гиббса, которые представляют собой равновесные распределения вероятностей пребывания систем из большого числа частиц в состояниях, реализуемых в различных физических условиях. Для рассматриваемого нами случая фазового перехода „конденсированная фаза-пар“ большое каноническое распределение Гиббса есть распределение вероятностей различных состояний квази-

замкнутой макроскопической системы (реального газа), которая обменивается с конденсированной фазой (жидкостью) не только энергией, но и частицами. Основой для расчета различных термодинамических функций реального газа является большая статистическая сумма

$$Z = \prod_j \exp(-\sigma n_j \kappa_j / kT) g(\kappa_j, n_j) \quad (1)$$

где  $\kappa_j$  – энергия  $j$ -го уровня молекулы;  $g(\kappa_j, n_j)$  – кратность его вырождения или статистический вес;  $\sigma$  – химический потенциал;  $n_j$  – число частиц в газовой фазе.

Если известен спектр энергий молекулы (ее поступательных, вращательных, колебательных и электронных энергетических уровней), то с помощью большой статистической суммы можно рассчитать различные термодинамические функции реального газа. Для давления, например, имеем

$$p = kT \ln Z / V \quad (2)$$

Предложив универсальный математический аппарат для расчета фазовых переходов в макроскопической системе, Гиббс проиллюстрировал его применение только для простейшей модели вещества – идеального газа. Последний он моделировал в виде отдельных частиц, лишенных внутренней структуры, связывая энергию атомов только с их поступательным движением. С помощью предложенной им суммы по состояниям (статистический интеграл)

$$Z \mid \frac{q_1^N}{N!} \mid \left( \exp \frac{\zeta}{kT} \right)^N / 2 \phi m k T^{3/2} V \left\{ \frac{1}{N!} \right\}^N$$

(где  $q_1$  – коэффициент вероятности;  $m$  – масса частицы;  $N$  – число частиц в макросистеме) и формулы (2) можно получить давление идеального газа

$$p \mid N k T / V.$$

Однако для адаптации теории к реальному газу своих рецептов Гиббс не оставил. Реальный же газ, испытывая фазовое превращение, которое сопровождается поглощением энергии при кипении жидкости и выделением ее при конденсации пара в жидкость, характеризуется важным энергетическим параметром  $\kappa_0$  – теплотой испарения.

В работах [3,4] показано, как на базе статистической механики Гиббса можно получить корректное выражение для большой статистической суммы реального газа. В выражение для вероятности наличия  $n$  молекул (из общего числа  $N$  в макросистеме) в газовой фазе с энергией  $\kappa_j$

$$w_{\kappa_j, n} \mid \exp \left( -\sigma n \frac{4 \kappa_j}{k T} \right) / Z \quad (3)$$

были введены четыре фундаментальных параметра, характеризующих индивидуальное вещество – критические давление  $p_c$ , удельный объем  $\gamma_c$  и температуру  $T_c$ , а также теплоту испарения  $\kappa_0$ . Если ввести приведенные термодинамические параметры  $\phi \mid p/p_c, \zeta \mid \gamma/\gamma_c, \vartheta \mid T/T_c$ , а также выразить  $\kappa_0$  через параметр  $r \mid \kappa_0/(kT_c)$ , то после суммирования в (1) по энергетическим уровням молекулы  $\kappa_j$  получаем

$$Z \mid \prod_{n=0}^N \Psi \frac{N \zeta 4 n 2 10}{n 2 10} \beta^{j/2} \exp \left( -r \frac{1}{4} \vartheta^{41} \right)^n, \quad (4)$$

где  $j$  – число активных степеней свободы молекулы.

После выделения в (4) сомножителя, зависящего от приведенной температуры  $\vartheta$ , но не зависящего от числа частиц  $n$

$$A(\vartheta) = \vartheta^{j/2} \exp \left( -r \frac{1}{4} \vartheta^{41} \right), \quad (5)$$

сумма по состояниям примет вид

$$Z \mid \prod_{n=0}^N q_n^n \mid \prod_{n=0}^N \Psi \frac{N \zeta 4 n 2 10}{n 2 10} A(\vartheta) \beta^n. \quad (6)$$

Из (2) и (6) было получено в [5] приведенное термическое уравнение состояния реального газа

$$\phi \mid K \vartheta \prod_{n=0}^N \Psi \frac{n}{N \zeta 4 n 2 10} q_n^n \beta / Z, \quad (7)$$

где  $K \mid R T_c / (p_c v_c M)$  – критический коэффициент [6]. Здесь  $M$  – молярная масса вещества в относительных единицах;  $R$  – газовая постоянная.

Вероятность появления в газовой фазе  $n$  молекул из общего числа  $N$  в макроскопической системе согласно (3) равна

$$w(n) \mid q_n^n / Z \mid \\ \mid \prod_{n=0}^N \left( \frac{N \zeta 4 n 2 1}{n 2 10} \beta^{j/2} \exp \left( -r \frac{1}{4} \vartheta^{41} \right) \right)^n \mid / Z. \quad (8)$$

Полученная величина удовлетворяет требованиям, предъявляемым к математической вероятности  $0 \leq w(n) \leq 1$ . Очевидно, что  $0 \leq \Omega n \leq \Omega N$ .

На рис.1 в логарифмическом масштабе представлены изотермы реального газа в докритической, критической и закритической областях изменения термодинамических параметров. Из него видно, что уравнение (7), в полном соответствии с данными эксперимента, корректно описывает зависимость давления от объема при изотермическом процессе как в однофазной (идеальный газ), так и в двухфазной (горизонтальная часть изотермы) областях, где совершается фазовый переход между конденсированной и газовой компонентами вещества. В докритической области ( $\vartheta \leq \vartheta_c, A(\vartheta) \leq 1$ )  $\phi \leq 1$ , в закритической ( $\vartheta \geq \vartheta_c, A(\vartheta) \geq 1$ )  $\phi \geq 1$ .

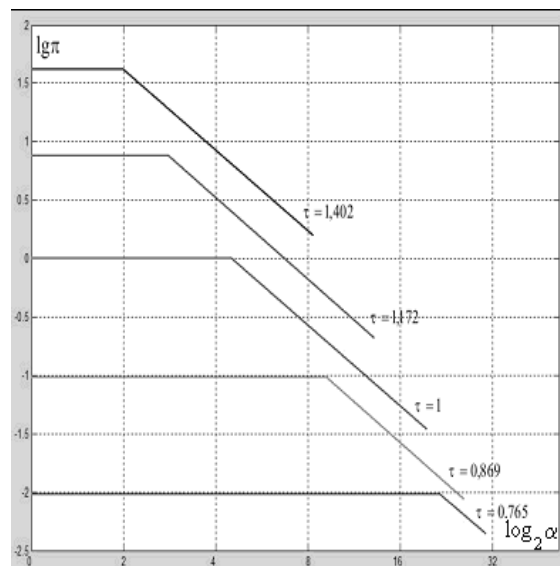


Рис. 1. Изотермы реального газа

Когда вещество пребывает в двухфазной области, совокупность слагаемых, формирующих большую сумму по состояниям (6), характеризуется наличием максимума у одного из них (рис. 2), т.е. один из коэффициентов вероятности при некотором значении  $n \mid n_m$  достигает максимального значения

$$q_n^n \mid \left( \frac{N \zeta 4 n_m 2 1}{n_m 2 1} \beta^{j/2} \exp \left( -r \frac{1}{4} \vartheta^{41} \right) \right)^n. \quad (9)$$

Соответствующее слагаемое вместе с небольшим числом соседних членов полинома вносит весомый

вклад в сумму по состояниям (6). По обе стороны от максимума функция  $f(n) \mid q_n^n$  монотонно убывает.

Для определения экстремума этой функции целесообразно искать логарифмическую производную. Приравнивая  $d/\ln f(n)/dn$  нулю, приходим к трансцендентному уравнению

$$\ln\left(\frac{N\zeta}{n_m} - 4\right) A(\vartheta) = 4 \frac{N\zeta/n_m}{N\zeta/n_m - 4}. \quad (10)$$

Корень этого уравнения есть некоторое число  $D \mid N\zeta/n_m$ , величина которого зависит от температурного сомножителя (5). Если зафиксировать количество частиц  $N$  в макросистеме, то между параметром  $n_m$  и приведенным удельным объемом  $\zeta$  оказывается прямо пропорциональная зависимость

$$n_m / \zeta \mid N/D. \quad (11)$$

Значению  $\zeta \mid 1$ , т.е. критическому объему, соответствует минимальное число частиц в газовой фазе

$$n_{\min} \mid N/D. \quad (12)$$

Когда  $n_m \mid N$ , то из (11) можно определить максимальное значение приведенного объема, при котором система становится однофазной

$$N/\zeta_{ep} \mid N/D. \quad (13)$$

В таблице приведены расчетные значения корней уравнения (10) при нескольких значениях температурного сомножителя  $A(\vartheta)$ , характерных для докритической, критической и закритической областей значений термодинамических параметров.

Таблица

Зависимость  $n_m/N$  и  $\zeta_{ep}$  от параметра  $A(\vartheta)$

$A(\vartheta)$	$/n_m/N \mid 1$	$\zeta_{ep}$
$10^{-6}$	$3,679 \cdot 10^{-7}$	$2,718 \cdot 10^6$
$10^{-5}$	$3,679 \cdot 10^{-6}$	$2,718 \cdot 10^5$
$10^{-4}$	$3,679 \cdot 10^{-5}$	$2,718 \cdot 10^4$
$10^{-3}$	$3,676 \cdot 10^{-4}$	$2,720 \cdot 10^3$
$10^{-2}$	$3,652 \cdot 10^{-3}$	$2,738 \cdot 10^2$
$10^{-1}$	$3,429 \cdot 10^{-2}$	$2,917 \cdot 10^1$
1	$2,178 \cdot 10^{-1}$	4,591
$10^1$	$5,364 \cdot 10^{-1}$	1,864
$10^2$	$7,250 \cdot 10^{-1}$	1,379
$10^3$	$8,155 \cdot 10^{-1}$	1,226
$10^4$	$8,641 \cdot 10^{-1}$	1,157
$10^5$	$8,935 \cdot 10^{-1}$	1,119
$10^6$	$9,128 \cdot 10^{-1}$	1,096

Интересно проследить за эволюцией функции распределения вероятностей (8) на участке фазового перехода. На рис. 2 представлены в логарифмическом масштабе зависимости  $w(n)$  от числа частиц  $n$

при разных значениях приведенного объема  $\zeta$ , начиная от  $\zeta \mid 1$  до  $\zeta_{ep}$ , рассчитанным по (8). Полное число частиц в обеих фазах предполагалось равным  $N \mid 10^3$ . Приведенные температуры были те же, что и при расчете изотерм рис. 1 реального газа. Параметр  $r$ , связанный с теплотой испарения, для каждого вещества практически не зависит от температуры и принимается постоянным. У разных веществ он находится в диапазоне  $3 \{ r \{ 7,5$  [7]. В расчетах мы принимали  $r \mid 5$ .

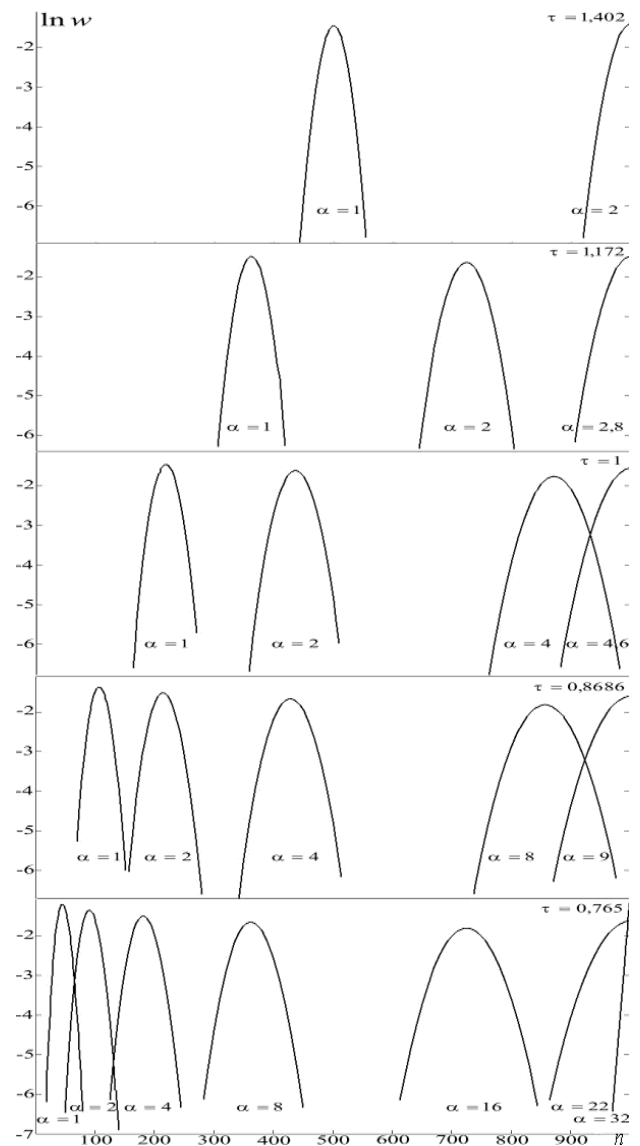


Рис. 2. Зависимость вероятности испарения от числа частиц для разных значений приведенных объема и температуры

Как видно из рис. 2, на участке фазового перехода при возрастании приведенного объема  $\zeta$  высота пиков у функций  $w(n)$ , имеющих колоколообразный вид, убывает, следуя зависимости  $w(n) \sim \zeta^{41/2}$ . При этом полуширина пика возрастает –  $\Delta n_{1/2} \sim \zeta^{1/2}$ .

Аналогично ведет себя и зависимость этих параметров от числа частиц  $N$  в макросистеме при фиксированном значении приведенного объема  $-w(n_m) - N^{41/2}$  и  $\div n_{1/2} - N^{1/2}$ . На стыке двух- и однофазного (идеальный газ) участков изотерм, чему соответствуют корни уравнения (10), функция  $w(n)$  имеет вид части левого крыла гауссова распределения. При этом максимальное значение вероятности имеет место при  $n \mid N$ , высота максимума начинает расти, а ширина функции распределения убывает. Площадь же под кривой остается постоянной и равной единице, что соответствует условию нормировки вероятностей

$$\int_0^N w(n) dn = 1.$$

Несмотря на высокие значения  $N$ , имеющие место в реальных условиях, верхний предел в интеграле обязательно должен быть конечным, соответствуя выбранной массе вещества, представленной двумя существующими фазами.

При расчете коэффициентов вероятности (9), большой статистической суммы (6), математической вероятности (8), а с их помощью приведенного уравнения (7), приходится иметь дело с мультиплексными выражениями, что неизбежно приводит к необходимости решать проблемы, связанные с использованием больших чисел.

Если в вышеуказанных соотношениях коэффициенты  $q_n^n$  поделить на максимальный из них, то перейдем к приведенным коэффициентам вероятности

$$\tilde{q}_n^n = q_n^n / q_{n_m}^{n_m}, \quad (14)$$

величины которых уже не превосходят единицы.  $0 \Omega \tilde{q}_n^n \Omega 1$ . В соответствии с этим можно ввести и приведенную сумму по состояниям в виде

$$\tilde{Z} = \sum_0^N \tilde{q}_n^n.$$

Расчет показывает, что уже при  $N \otimes 10^4$  приведенный коэффициент вероятности (14) – суть экспонента нормального гауссова распределения [8]

$$\tilde{q}_n^n = \exp \left[ -\frac{(n - n_m)^2}{2\omega^2} \right], \quad (15)$$

где  $n_m$  – абсцисса максимума, через которую проходит ось симметрии функции распределения;  $\omega$  – расстояние от этой оси до точки перегиба функции (15);  $\omega^2$  – дисперсия случайной величины.

В нашем случае эти величины равны

$$\omega^2 = 4 \otimes 10^{-2} \mid 4 \otimes 10^{-2} \mid 0,1335 N \zeta; \quad \omega = 0,365(N \zeta)^{1/2}. \quad (16)$$

Если ввести переменную  $x = n - n_m$ , то (15) сводится к плотности распределения вероятности

$\pi(x) = 1/\sqrt{2\phi} \exp[-x^2/2]$  нормированного и центрированного распределения. Значения функции  $\pi(x)$  затащилированы (см., например, [8]).

Приведенную сумму по состояниям теперь можно находить посредством интегрирования

$$\tilde{Z} = \int_0^N \tilde{q}_n^n \circ \left| \int_0^N \tilde{q}_n^n dn \right| \exp \left[ -\frac{(n - n_m)^2}{2\omega^2} \right] dn.$$

Если в последнем интеграле произвести замену переменной, аналогичную той, которая была выполнена в (15), приведенная сумма по состояниям выражается через сумму двух слагаемых, каждое из которых является интегралом ошибок [7]

$$\tilde{Z} = \sqrt{2\phi} \omega \Psi_0(y_1) 2 \Phi_0(y_2) \beta \quad (17)$$

где

$$\begin{aligned} \Phi_o(y) &= \int_0^y \pi(t) dt = 1/\sqrt{2\phi} \Delta \\ \Delta &= \int_0^y \exp[-t^2/2] dt = \sqrt{2\phi} \Psi_0(y_1) 4 \Phi_0(y_2) \beta \\ y_1 &= n_m / \omega; \quad y_2 = |N - n_m| / \omega. \end{aligned}$$

Значения функции  $\Phi_0(y)$  также затащилированы [8].

Теперь вероятность испарения (8) при  $n_m \ll N$  становится равной

$$w(n) = \frac{1}{\omega} \frac{\pi(x)}{\Phi_0(y_1) 2 \Phi_0(y_2)}.$$

Для критической изотермы максимальный коэффициент вероятности совпадает с последним членом полинома

$$q_n^n = \frac{\zeta N \zeta 4 N}{N 2 1} \mid \mid / \zeta 4 10^V.$$

Основной вклад в сумму по состояниям при этом вносят последние члены полинома.

В средней части двухфазной области  $\Phi_0(y_1) 2 \Phi_0(y_2) \approx 1$  и приведенная сумма по состояниям (17) принимает вид

$$\tilde{Z} = \sqrt{2\phi} \omega.$$

Для центра гауссова распределения в случае макросистемы из  $N = 10^{24}$  частиц с помощью (17) получаем

$$w(n) = \frac{\tilde{q}_{n_m}^{n_m}}{\tilde{Z}} = \frac{1}{\sqrt{2\phi} \sqrt{N \zeta}} \sim 10^{412}.$$

Приведенные выше рассуждения позволяют теперь записать термическое уравнение состояния реального газа (7) в таком виде

$$\phi = K \vartheta \frac{n}{N \zeta 4 n 2 1} \circ \frac{K \vartheta}{\sqrt{2\phi}} \frac{n_m / (N \zeta)}{14 n_m / (N \zeta)}. \quad (19)$$

Выполненный расчет давления реального газа методом приведенной вероятности и большой статистической суммы позволяет сделать заключение, что математические затруднения, связанные с большими числами, которые характеризуют термодинамические вероятности состояния, могут быть достаточно легко устранены. Тем самым, как физическую, так и математическую сторону проблемы получения термического уравнения состояния реального газа можно считать в принципе решенными.

Полученный результат целесообразно воспринимать в общем аспекте уравнения состояния в термодинамике.

При сильном сжатии конденсированной фазы (твердого тела или жидкости) в нем развивается колоссальное внутреннее давление, даже в отсутствие нагревания, только за счет отталкивания атомов друг от друга. Существование этого давления нетеплового происхождения определяет основные особенности поведения твердых и жидких тел при сжатии, например, ударными волнами большой амплитуды. В этих условиях термодинамические функции делят на „холодную“ составляющую и тепловые члены, определяемые термическим возбуждением [9–12]. При давлениях порядка сотен тысяч атмосфер преобладает упругое давление. Сам факт существования геотермического градиента  $\div T / \div h | 3 \times 10^{42} \text{ К/м}$ , зафиксированного при проведении горных работ и бурении геологических скважин, может быть связан с давлением вышележащих слоев на горную породу, расположенную в глубине, и релаксацией механических напряжений при разгрузке [13].

Расчеты показывают, что плотность внутренней энергии в породе, связанная с горным давлением, достаточна и для сообщения извергающейся при выбросе массе кинетической энергии, и для повышения температуры этой массы [14]. При мелком очаге извержения масса будет иметь структуру пылевого облака, частицы которого будут нагреты выше температуры окружающей среды („палящие тучи“). А при более глубоком расположении очага диспергированная масса, температура которой достигает точки плавления, сплюснется, образуя поток жидкой лавы, изливающейся из кратера вулкана.

Рассмотренные примеры показывают, насколько методы термодинамики близки к решению проблемм как естествознания, так и практических задач, связанных с разведкой, извлечением и переработкой полезных ископаемых.

#### **Список литературы**

1. Вукалович М.П., Новиков И.И. Уравнение состояния реальных газов. – М.-Л.: Госэнергоиздат, 1948. – 340 с.
2. Гиббс Дж. В. Основные принципы статистической механики. – М.: ГИТТИ, 1946. – 415 с.
3. Лютий А.И. Способ получения уравнения состояния реального газа в статистической механике Гиббса /Гос. горн. акад.– Д., 1995. – Деп. в ГНТБ Украины 20.06.95, №1563 – Укр. – 29 с.

4. Лютий А.И., Глушко Л.Н. Термическое уравнение состояния реального газа // Науковий вісник НГУ. – 2003. – №4. – С 26–33.
5. Лютий А.И., Глушко Л.Н. Функции распределения и флуктуации частиц в двухфазной области реального газа. // Сб. науч. тр. /НГУ: 2003. – №18. – С. 116–121.
6. Лютий А.И., Горобец Л.Ж., Дуброва С.Б. Термический расчет критического давления и его техническое применение // Физика и техника высоких давлений. – 1997. – Т. 7, №3. – С. 81–88.
7. Таблицы физических величин. /Справочник. – М.: Атомиздат, 1976. – 1006 с.
8. Бронштейн И.Н., Семеняев К.А. Справочник по математике. – М.: Наука, 1986. – 544 с.
9. Зельдович Я.Б., Райзэр Ю.П. Физика ударных волн и высокотемпературных гидродинамических давлений. – М.: Физматгиз, 1963. – 632 с.
10. Тяпкин К.Ф. Физика земли. – К.: Вища школа, 1998. – 312 с.
11. Жарков В.Н. Внутреннее строение Земли и планет. – М.: Наука, 1983. – 416 с.
12. Дмитриев А.И., Гончаров С.А. Термодинамические процессы в горных породах. – М.: Недра, 1983. – 312 с.
13. Горобец Л.Ж., Лютий А.И. Связь термодинамических параметров горных пород на глубине // Сучасні шляхи розвитку гірничого обладнання і технологій переробки мінеральної сировини. Міжнар. конф. – Дніпропетровськ, 1997. – С. 52–53.
14. Лютий А.И., Поповченко С.Е. Строение Земли и геологические процессы в свете релаксации упругой энергии вещества недр. – Д.: НГУ, 2005. – 271 с.

Впровадження в статистичну сумму для газової фази приведених значень імовірностей дозволило модернізувати процедуру розрахунку функцій розподілу та термічного рівняння стану реального газу. Виконаний розрахунок тиску реального газу методом приведених імовірностей показав, що труднощі пов’язані з математичною обробкою великих чисел, які характеризують термодинамічні імовірності стану, цілком пе реборні. Розраховані ізотерми реального газу та імовірності випаровування при фазовій рівновазі.

**Ключові слова:** реальний газ, рівняння стану речовини, критичні явища

Introduction to the sum on the state of gas phase of normalized probability values has allowed the authors to modernize the procedure of calculation of distribution function and thermal equation of real gas state. The calculation of real gas pressure by method of normalized probabilities has shown that complications related to processing of large numbers, which characterize state thermodynamic probabilities can be solved. Isotherms of real gas and probabilities for evaporation at phase equilibrium have been calculated.

**Keywords:** real gas, equation of substance state, critical phenomena

Рекомендовано до публікації д.т.н. Л.Ж. Горобець 20.05.10